

38084

T. C.
SELÇUK ÜNİVERSİTESİ
SAĞLIK BİLİMLERİ ENSTİTÜSÜ

DIABETTE DESEN (PERG) ELEKTRORETİNOGRAFİ

DOKTORA TEZİ

Doç. Dr. Mehmet Kemal GÜNDÜZ

FİZYOLOJİ ANABİLİM DALI

Danışman : Prof. Dr. Neyhan ERGENE

**T.C. YÜKSEKÖĞRETİM KURULU
DOKÜMANTASYON MERKEZİ**

KONYA - 1994

IÇİNDEKİLER

IÇİNDEKİLER	i
SİMGELER DİZİNİ	ii
ŞEKİLLER DİZİNİ	iii
TABLOLAR DİZİNİ	v
GİRİŞ	1
LITERATÜR BİLGİ	3
MATERIAL ve METOD	9
Diabetli Olgular ve Kontrol Grubu ...	9
PERG Kayıt Yöntemi	11
Sonuçların Güvenilirliği	13
Kalibrasyon	14
İstatistik Değerlendirme	16
BULGULAR	17
TARTIŞMA ve SONUÇ	23
ÖZET	32
SUMMARY	33
LITERATOR	34
ÖZGEÇMİŞ	38
TEŞEKKÜR	39
NOT	40

SİMGELER DİZİNİ

FFA=Flöresein fundus anjiografi(si)

PERG=Pattern (desen) elektroretinografi

mV=Milivolt

ERG=Elektroretinografi

μ V=Mikrovolt

OP=Ossilatuar potansiyel(ler)

ms=Milisaniye

VER=Görsel uyarıya kortikal cevap

P100=Görsel uyarıya kortikal cevap pozitif defleksyonu

P50=Desen elektroretinografi pozitif komponenti

N95=Desen elektroretinografi negatif komponenti

??+??=Ortalama değer+standart sapma

Hz=Hertz

ŞEKİLLER DİZİNİ

- Sekil 1.** İnsandan kaydedilen ilk ERG trasesi. Trase sağdan sola doğru okunacak şekilde kaydedilmiştir. Karelerin kalibrasyonu 500 μ V ve 1.2 saniyedir 4
- Sekil 2.** Normal ERG. Negatif "a" dalgasını(18 ms'de) takiben daha büyük genlikte "b" dalgası (38 ms'de) ve üzerinde OP'ler 4
- Sekil 3.** Patolojik ERG. Bir önceki traseye kıyasla dalga şekilleri kaybolmuş 5
- Sekil 4.** Negatif ERG. "b" dalgası pratik olarak yok. Trasenin tamamı "a" dalgasından oluşmaktadır. Yeni damar oluşumları başlamış iskemik diabetik retinopatili bir hastadan kaydedilmiştir 5
- Sekil 5.** Sol gözde optik atrofi(üstten 2.trase). VER P100 genlik ve latensi patolojiktir. En üstteki trase sağ gözden kaydedilmiştir ve normaldir. Her iki gözden kaydedilen ERG'ler (alttaki 2 trase) ise normaldir 7
- Sekil 6.** PERG trasesi. 50 ve 95 ms'lerde ortaya çıkan pozitif ve negatif komponentler. Kalibrasyon dikey çizgisi 2 μ V, yatay çizgisi 25 ms'dır.
a) Normal, b) Travmatik maküla ödemi sonucu P50 genliğinde azalma, c) Basit kronik glokomda N95'de silinme 8
- Sekil 7.** Genlik (dik oklar) ve latens (yan oklar) hesaplanması. Kesik çizgiler izoelektrik hattı vermektedir 12
- Sekil 8.** Günlük PERG değerleri (P50 genlikleri). Sağ gözden alınan genlikler gösterilmiştir ... 13
- Sekil 9.** Günlük PERG değerleri (N95 genlikleri). Sağ gözden alınan genlikler gösterilmiştir ... 14
- Sekil 10.** Değişik günlerde PERG değerleri (P50 genlikleri). Sağ gözden alınan genlikler gösterilmiştir 15
- Sekil 11.** Değişik günlerde PERG değerleri (N95 genlikleri). Sağ gözden alınan genlikler gösterilmiştir 15

- Şekil 12.** Siyah ve beyaz karelerin televizyon ekranı
Üzerinden yapılan fotometrik ölçümleri 16
- Şekil 13.** Sağ göz önüne (üstteki trase) desen değişimine
fiksasyonu bloke etmek için siyah karton
kapatılmıştır. Çapraz etkileşim yoktur ve
sağ gözden PERG cevabı alınamamaktadır 27
- Şekil 14.** Referans elektrodun pozisyonuna göre PERG
cevaplari. Referans elektrodun:a)Kulak üzerinde,
b)Kulagın 2.5 santimetre uzagında, c)Şakagın
2.5 santimetre uzagında, ve d)Şakak üzerinde
bulundugu zaman traselerin durumu. Sol sütun-
daki cevaplarda uyarım elektrodun bağlandığı
göze yapılmış ve diğer göz kapatılmış, sağ
sütundaki cevaplarda ise elektrodun bağlandığı
göz kapatılmış, uyarım diğer göze verilmiştir.
Referans elektrod şakak bölgesine bağlandığı
zaman kontaminasyon görülmemektedir 28

TABLOLAR DİZİNİ

Tablo 1. Yaşıları 12-64 arasındaki 50 normal bireyin PERG P50 ve N95 latens(ms) ve genlikleri(μ V). Latensler milisaniye, genlikler mikrovolt $\times 10$ olarak verilmiştir	17
Tablo 2. Normal PERG değerleri. Latensler milisaniye, genlikler mikrovolt olarak <u>ortalama\pm standart sapma</u> şeklinde verilmiştir	18
Tablo 3. Yaşıları 12-75 arasındaki 55 diabetli hastada PERG P50 ve N95 latens(ms) ve genlikleri(μ V). Latensler milisaniye, genlikler mikrovolt $\times 10$ olarak verilmiştir	19
Tablo 4. Diabetlilerde PERG değerleri. Latensler mili-saniye, genlikler mikrovolt olarak <u>ortalama\pm standart sapma</u> şeklinde verilmiştir	21
Tablo 5. Diabetlilerde PERG değerlerinin dağılımı. Latensler milisaniye, genlikler mikrovolt olarak <u>ortalama\pm standart sapma</u> şeklinde verilmiştir	22

GİRİŞ

Diabetik retinopati, diabetin retinada yol açtığı dejeneratif bir değişikliktir. Oftalmolojik yönden diabetik retinopatinin en korkulan komplikasyonu retinada vasküler değişiklikler ve özellikle optik diskte yeni damar oluşumlarıdır. Mikroanevrizma ve eksüdalar diabetik göz hastalığının başladığının göstergeleridir ve kapiller yatağın tıkanıp hipoksisinin yerleştiği bölgelerde görülürler. Retinada hipoksi bir süre sonra yeni damar oluşumlarının başlamasına zemin hazırlar. Bu değişiklikler sırasında retinanın merkezi çogu kez etkilenmez ve yeni damarlardan fovea bölgesine kanama olmazsa, görme keskinliği normal seviyede seyreder. Bu nedenle retina ve optik sinirde gelişen sinsi değişikliklerden hastanın haberi olmaz. Görme keskinliği azaldığı zaman ise retinopati çogu zaman ilerlemiş, perfüzyon bozulmuş ve yeni damar oluşumları yerleşmiş olur(10).

Diabetik retinopatinin erken evrede henüz görsel belirtiler yokken tanınması ve gerekli önlemlerin alınması, diabetin oküler komplikasyonlarının önlenmesi veya tedavi edilebilmesi açısından son derece önemlidir. Retinopatinin saptanabilmesi için değişik yöntemler kullanılmaktadır. Bu yöntemlerin en hassas ve objektif olanı ve de tedavide en önemli kılavuzu şüphesiz ki flöresein fundus anjiografisidir(FFA). FFA ile retinanın non-perfüze bölgeleri tespit edilir ve uygun dalga boyundaki lazer ışınlarıyla kapatılır.

Ancak FFA'nın klinik uygulamasında ve tekrarlarında çok zaman alması, pahalı olması, ve hastada yan etkiler yapması gibi olumsuzlukları vardır(24). Bu nedenle tedavi öncesinde retinopatinin tespiti, diabetik hastaların retinopati yönünden taraması, ve tedaviye karar verme aşamalarında yine objektif ve hassas bir yöntem olan ve yan etkileri olmayan desen elektroretinografi (PERG) tercih edilmektedir(27).

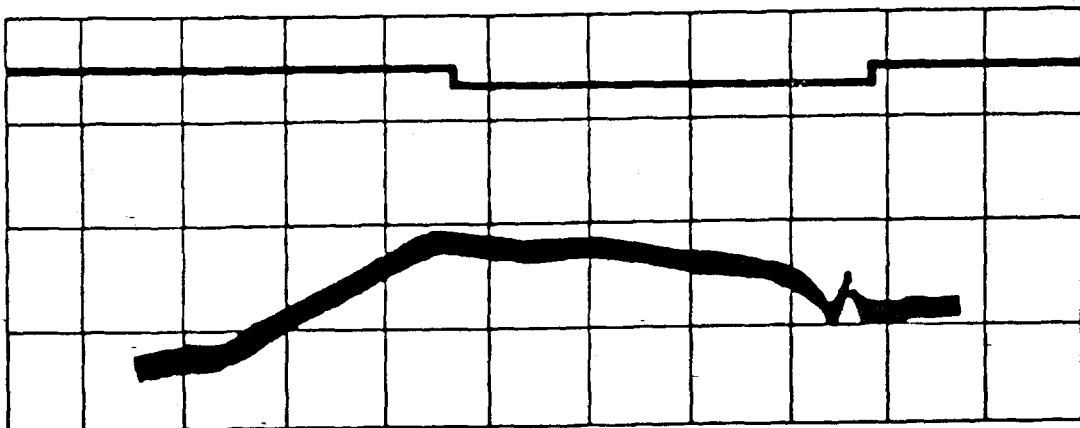
LITERATÜR BİLGİ

DuBois-Reymond(19) 1849 yılında eksize edilmiş balık gözünde kornea ile retina arasında 6 mV'luk bir potansiyel farkı olduğunu göstermiştir. Gözün ön ve arka kısmına (kornea ile retina) yerleştirilen benzer elektrodlarla yapılan ölçümelerde de korneanın retinaya kıyasla pozitif olduğu saptanmıştır.

Holmgren(33) 1865 yılında aynı işlemi kurbağa gözünde kuvvetli bir ışık flaşı ile tekrar ederek bir seri potansiyel değişimlerinin ortaya çıktığını tespit etmiştir.

Daha sonra 1880 yılında Holmgren(34,35) ön segmenti keserek çıkarmış ve elektrodları doğrudan retinaya yerleştirerek yaptığı deneylerde oluşan potansiyel değişiminin sadece retinadan kaynaklandığını göstermiştir.

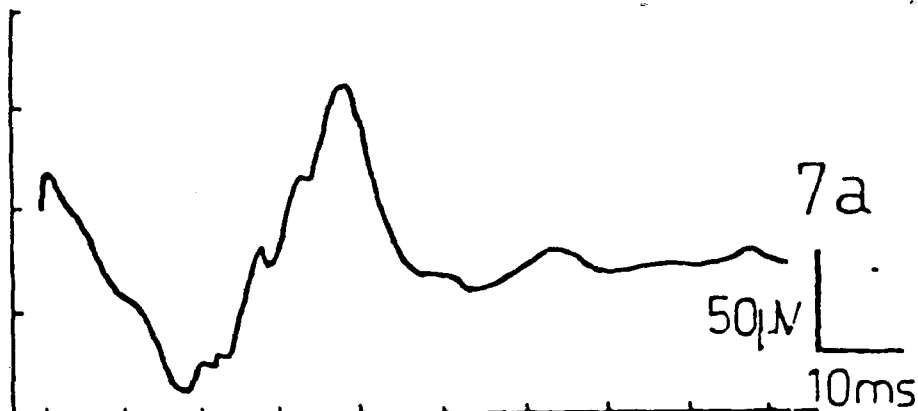
İşik etkisiyle gözde oluşan potansiyellerin genlikleri ile ışık şiddeti arasındaki ilişkileri Dewar ve McKendrick(17) ortaya koymuşlardır. Kuhne ve Steiner(39) ışık etkisiyle oluşan potansiyellerin reseptör hücre tabakasından kaynaklandığını göstermişlerdir. 1908 yılında Einthoven ve Jolly(20) kurbağa gözünde elektroretinografi(ERG) komponentlerini tanımlamışlardır. Bu bilgilerin ışığı altında canlı insan gözünde bugünkü anlamda ilk ERG kaydı 1924 yılında Kahn ve Löwenstein(37) tarafından gerçekleştirılmıştır, Sekil 1.



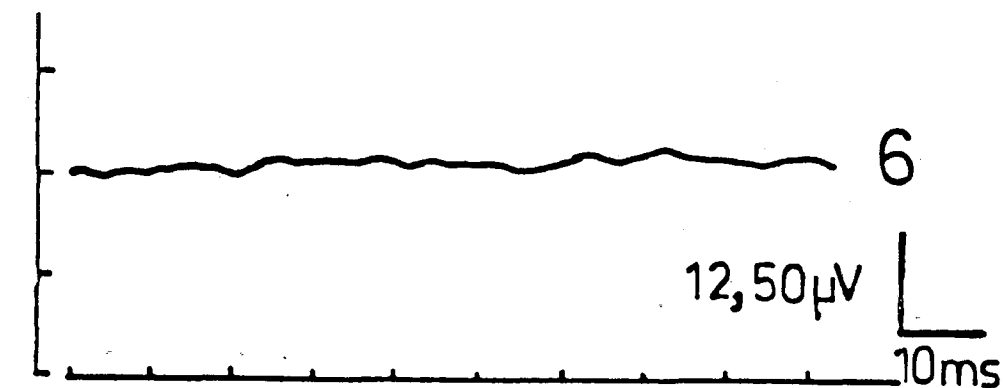
Sekil 1. İnsandan kaydedilen ilk ERG trasesi. Trase kaydı sağdan sola doğrudur. Karelerin kalibrasyonu $500 \mu\text{V}$ ve 1.2 saniyedir (Kahn R, Löwenstein A:Graefes Arch Ophthalmol. 1924;4:304-325)

Daha sonraki yıllarda teknolojik gelişmelere paralel olarak ERG kayıtlama yöntemlerinde çok önemli aşamalar kaydedilmiştir. Bugün bu aşamalar sayesinde ERG pek çok merkezde olagan bir uygulama yöntemi haline gelmiş ve retina hastalıklarının tanısında çok önemli bir konuma sahip olmuştur,

Sekil 2,3.

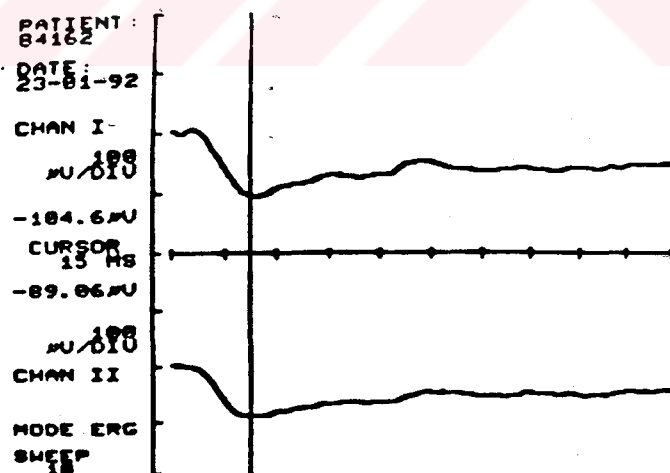


Sekil 2. Normal ERG. Negatif "a" dalgasını ($18 \text{ ms}'de$) takiben daha büyük genlikte "b" dalgası ($38 \text{ ms}'de$) ve üzerinde OP'ler (Gündüz K ve ark:T.Oft.Gaz.1988: 18;423-438)



Sekil 3. Patolojik ERG. Bir Önceki traseye kıyasla dalga şekilleri kaybolmuş (Gündüz K ve ark:T.Oft.Gaz. 1988:18;423-438)

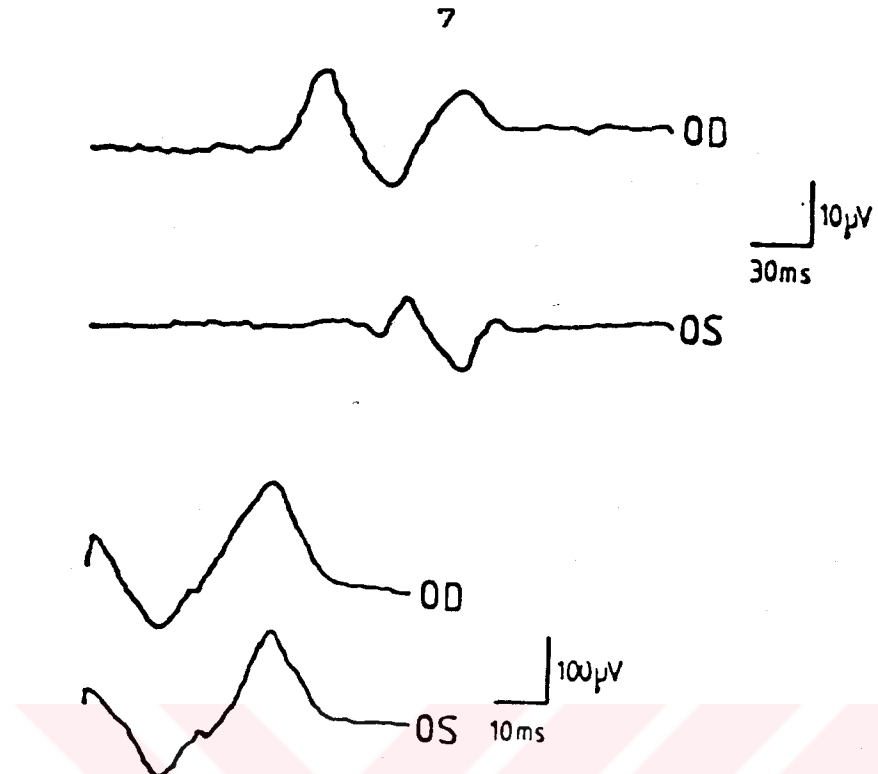
Daha çok kalitsal retina hastalıklarının tanısı ve takibi için kullanılan ERG (1,6,23,29), özellikle diabet gibi retinayı etkileyen sistemik hastalıklarda da yaygın bir uygulama alanına sahiptir(9), Sekil 4.



Sekil 4. Negatif ERG. "b" dalgası pratik olarak yok. Trasenin tamamı "a" dalgasından oluşmaktadır. Yeni damar oluşumları başlayan iskemik diabetik retinopatili bir hastadan kaydedilmiştir (Gündüz K. arşivi).

Diabette önceleri normal olan ERG'de hastalığın ilerlemesiyle birlikte "b" dalgasında genlik azalması, ossilatuar potansiyellerde (OP) kayıp ve sonuçta genel olarak ERG' nin tümünde patoloji saptanabilecegi belirtilmişse de(5,12) hastalığın seyrinde sadece OP'lerin yeterince hassas olduğu görüşü daha hakimdir(22,42). Bazı olgularda OP'lerin retinopati çıkmadan on yıl önce bile kaybolabilmeleri(48,13) yanında OP'lerin normal bireylerde bile bazen teknik nedenlerden ötürü kaydedilememeleri ve sadece iç retina bölümünün fonksiyonunu yansıtmaları nedeniyle diabetik retinopatide erken evrede hasarın tespit edilebilmesi için hem retinanın hem de ganglion hücrelerinin fonksiyonunu bir arada verebilen bir yöntem uygulanmalıdır.

Retinanın ve optik sinirin fonksiyonları ERG ve görsel uyarıya kortikal cevap (VER) yöntemleriyle anlaşılabılırse de, VER'in ileri yaş grubundaki bazı bireylerde zaman zaman değişken sonuçlar verebilmesi ve diabette gelişebilecek yaygın nöropati nedeniyle görme sinirinin bütününde oluşabilecek patolojilerden ötürü normalden sapmalar gösterileceği, daha da önemlisi VER'in lezyonun anatomik lokalizasyonu yansıtamaması (topografik özelliklerinin bulunmaması) pratikte yalancı pozitif ve negatiflerin sık karşılaşmasına neden olmaktadır(26). Makülerin etkilendiği durumlarda da patolojik sonuçlar veren VER, ERG'nin tamamen normal sınırlarda bulunduğu (optik sinir patolojileri gibi) pek çok hastalıkta da önemli derecede etkilenmektedir, Şekil 5.

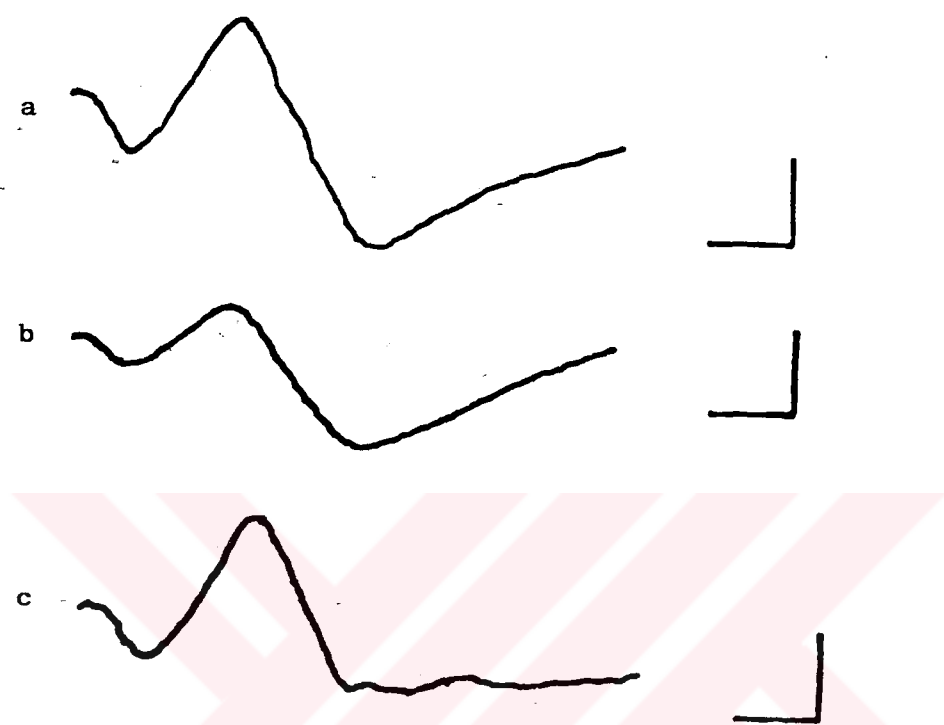


Şekil 5. Sol gözde optik atrofi(üstten 2.trase). VER P100 genlik ve latensi patolojiktir. En üstteki trase sağ gözden kaydedilmiştir ve normaldir. Her iki gözden kaydedilen ERG'ler (alttaki 2 trase) ise normaldir (Gündüz K, Dogan ÖK:T.Oft.Gaz.1988;18; 441-446)

Deneysel ve klinik veriler, ışık flaşı yerine belli bir düzendeği siyah-beyaz veya kontrast renkte karelerin hareketi ile uyarılan gözde, ışık flaşı ile uyarılan göze benzer cevaplar alındığını ancak bu cevabin biraz farklılıklar gösterdigini ortaya koymaktadır(25,44,45).

Bifazik bir potansiyel değişimi şeklinde ortaya çıkan elektrik cevabin, retinanın ve optik sinirin hastalıktan etkilenip etkilenmediğine göre değişiklikler gösterdiği saptanmıştır. Örneğin retinanın etkilendiği durumlarda 50 ms civarında ortaya çıkan pozitif komponentin (P50), optik sinirin etkilendiği durumlarda ise 95 ms civarında ortaya

çikan negatif komponentin (N95) küçülmesi veya kaybolması gibi(32,36,38), Sekil 6.



Sekil 6. PERG trasesi. 50 ve 95 ms'lerde ortaya çıkan pozitif ve negatif komponentler. Kalibrasyon dikey çizgisi 2 μ V, yatay çizgisi 25 ms'dir. a)Normal, b) Travmatik maküla ödemi sonucu P50 genliginde azalma, c) Basit kronik glokomda N95'de silinme.
(Gündüz K, Doğan ÖK:T.Oft.Gaz.1988;18:441-446)

Pratikte de retina ve/veya optik sinir hastalıklarında P50 ve/veya N95'in hastalığın derecesine göre etkilendiği görülmektedir(3,12,25,40). Bu verilerin ışığı altında diabetin çok önemli komplikasyonlarından biri olan retinopatinin erken evrede PERG yöntemi ile tanınıp tanınamayacağı, P50 ve N95 komponentlerinin analizi ile araştırılmıştır.

MATERIAL ve METOD

Diabetli Olgular ve Kontrol Grubu

Çalışma kapsamına alınan olgular, Selçuk Üniversitesi Tıp Fakültesi Göz Hastalıkları Anabilim Dalı poliklinigine göz muayenesi için başvuran kişilerden muayene sırasında diabet tanısı almış olanlarla, dahiliye ve nöroloji kliniklerinden ve elektrofizyolojik tetkik için Konya ili ve diğer illerden gönderilen hastalardan seçilmiştir. Bu seçim sırasında kardiyovasküler, nörolojik ve sistemik hastalıklarla, PERG cevabını etkileyebilecek yandaş göz hastalıklarının anamnezde veya muayenede bulunmaması (geçirilmiş bir göz veya kafa travması, katarakt ve glokom cerrahisi gibi göz küresine girişim yapılmış ameliyatlar, üveit ve iridosiklit, ambliyopi gibi) ve hastaların mental yönden koopere olabilmeleri esas alınmıştır. Kirpik, göz kapağı ve konjunktiva-kornea hastalığı veya deformitesi bulunanlar, proliferatif diabetik retinopatisi bulunan ve/veya evvelce lazer tedavisi uygulanmış olgular, sebebi ne olursa olsun tashihli görme keskinlikleri Snellen eşeline 0.1'in altında olanlar ve gözdibinde diabet harici başka bir hastalıkla uyumlu görünümü olanlar (hipertansiyon, optik sinir başında değişiklikler, vitreus opasiteleri gibi) çalışma kapsamı dışında bırakılmıştır. Diabetin süresi, başlama yaşı, tedavi sırasındaki açlık ve tokluk kan şekeri düzeyleri ile diğer tahlil sonuçları ve tedavideki farklılıklar gibi faktörler dikkate alınmamıştır.

Hastalar direkt ve indirekt oftalmoskopla gözdzibi görünümlerine göre dört gruba ayrılmıştır. Birinci gruba gözdzibi tamamen normal, ikinci gruba dağınık birkaç mikroanevrizması olanlar, üçüncü gruba mikroanevrizma, birkaç dağınık hemoraji ve/veya sert eksüdalar, dördüncü gruba ise üçüncü gruptakilere ilave olarak atılmış pamuk tarzında yumuşak eksüdalar, belirgin sıvı sizintisi ve yaygın kanama odakları bulunan hastalar alınmıştır.

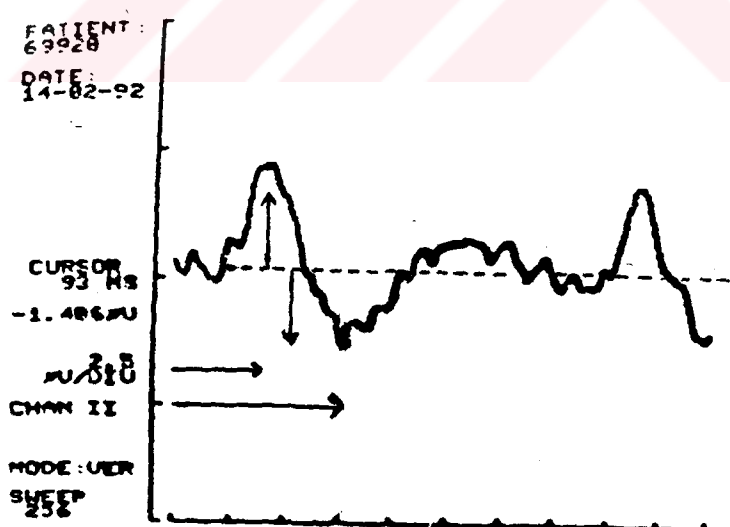
Yukarıda belirtilen esaslara göre seçilen ve yaşıları 12-75 arasında değişen (48.6 ± 14.6) 24'ü erkek 31'i kadın 55 diabetli hastada PERG yöntemi ile elektrofizyolojik olarak retinopati derecesi, yaşıları 12-64 arasında değişen (34.3 ± 14.0) ve sağlıklı oldukları kabul edilen bireylerden oluşan 25'i erkek, 25'i kadın 50 kişilik kontrol grubunun değerleri esas alınarak araştırılmıştır. Kontrol grubundaki bireylerin diabetli hastalarla akrabalıklarının olmamasına özen gösterilmiş ve bu bireylerin 32'si Göz Poliklinik muayeneleri sırasında sağlam tanısı konanlardan seçilmiş, onayları alındıktan sonra açlık kan şeker düzeylerine bakılmış ve incelemeye dahil edilmişlerdir. Kalan 18 birey ise hastanede çalışan doktor, hemşire ve diğer görevli personelden gönülü olanlar arasından seçilmiş ve sadece gözdzibi muayeneleri yapılarak tashihli görme keskinliklerine bakılmıştır. Kontrol grubundaki bireylerde en düşük tashihli görme keskinliği Snellen eşelinde 0.8 olarak belirlenmiştir. PERG muayenesi sırasında hastaların ve kontrol grubundaki bireylerin gözlükleri taktırılmış veya düzeltici camlar tecrübe

çerçeve sine konulduktan sonra kayıtlama yapılmıştır.

PERG Kayıt Yöntemi

Kayıt sırasında en az 200 cevabın ortalaması alınmış ve işlem üç kere tekrarlanarak elde edilen cevapların genlik olarak en iyisi kaydedilmiştir. Uyarıcı olarak 21X28 santimetre ebatlarındaki televizyon ekranına verilen siyah-beyaz karelerin gözdeki uzantısı her bir kare için 0.48 derece olacak şekilde (ekrana 95 santimetre mesafeden bakıldığından ve bir karenin boyu 0.8 santimetre olarak seçildiğinde) 5 Hz'de hareket etmeleri sağlanmıştır. Siyah ve beyaz arasındaki kontrast oranı %90 olacak şekilde seçilmiş tir ($[L_{mak}-L_{min}/L_{mak}+L_{min}] \times 100$). Televizyon ekranının kenarları yüzey yansımalarını önlemek için çepçevre siyah kartonla kapatılmış ve kayıtların alındığı oda televizyon ekranında yansıma yapmayacak şekilde aydınlatılmıştır. Cihazın duyarılılığı birim bölmeye 20 mikrovolt ayaarlanmış ve 300 milisaniyelik bir kayıt aralığı kullanılmıştır. Milar üzerine altın kaplanmış aktif elektrod, kornea 1/3 alt kısmına temas eder durumda alt forniks orta kısmına pupil sahasını kapatmayacak şekilde, gümüş-gümüş klorür kaplı disk şeklindeki referans ve nötr elektrodlar lateral kantüsün iki santimetre temporaline ve alında iki kaş arasının iki santimetre üzerine yerleştirilmiş ve elektrod dirençleri en çok 2-4 kiloohm olacak şekilde düşürülmüştür. Kayıtlar her iki gözden aynı anda, Medelec Neuropto cihaz sisteminin ekranından kaydedilmiştir (2,25,29).

Cihazın kayıt mekanizması uyarın başlamasıyla aynı anda tetiklenmektedir. Cevapların ortaya çıkış süreleri ve genlikleri ekranda hareket ettirilebilen bir selektörle okunarak kaydedilmiştir. Pozitif komponent genlikleri trase nin başladığı andaki voltaja göre (izoelektrik hat) saptanın ölçülmesiyle, negatif komponent genlikleri ise pozitif komponentin tepe noktasından itibaren en düşük genlik değeri arasındaki fark olarak hesaplanmıştır. Izoelektrik hattan sapan traseler ya kayıt tekrarı ile veya trase analizi için seçilen 300 milisaniyelik zaman birimine yanyana iki trasenin pozitif komponentleri sigabileceğinden, birbiri arkasına çıkan iki trasenin konumuna göre değerlendirilmiş tir, Şekil 7.

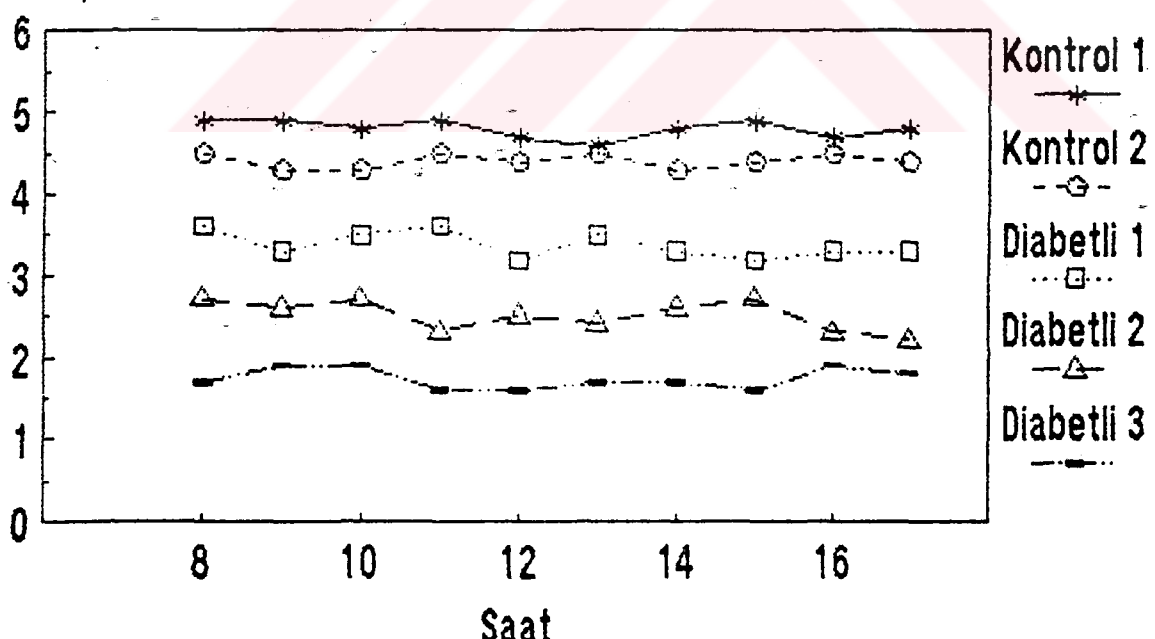


Şekil 7. Genlik (dik oklar) ve latens (yan oklar) hesaplanması. Kesik çizgiler izoelektrik hattı vermektedir.

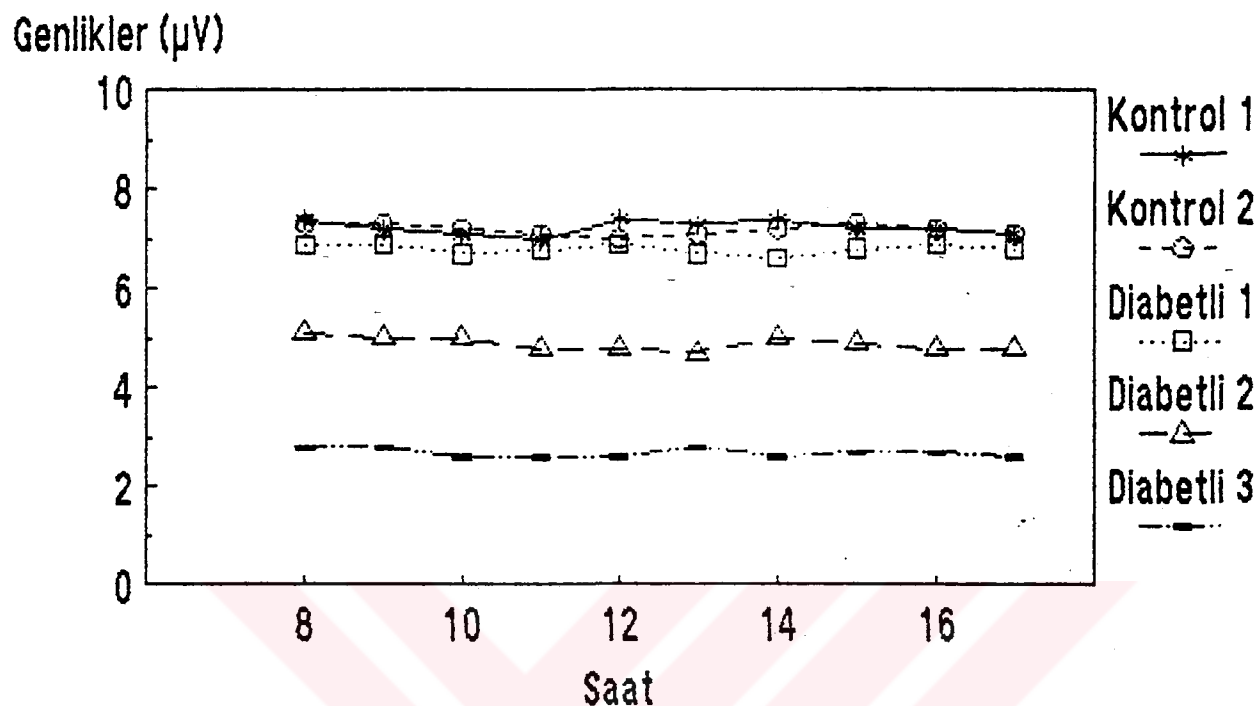
Sonuçların Güvenilirliği

PERG bulgularının değişken olup olmadığı kontrol grubundan iki (23 yaşında kadın ve 39 yaşında erkek) ve diabetli gruptan üç (23 yaşında erkek, 39 ve 60 yaşında kadın) kişi üzerinde, günün değişik saatlerinde ve farklı günlerde araştırılmıştır. Günlük PERG değerlerinde cevaplardaki değişkenlik kontrol grubundaki iki bireyde P50 için $\pm 0.10 \mu\text{V}$, ve N95 için $\pm 0.12 \mu\text{V}$, diabetli gruptaki üç bireyde ise P50 için $\pm 0.16 \mu\text{V}$, ve N95 için $\pm 0.11 \mu\text{V}$ kadardır. Yatay eksen kayıtların alındığı saati, dikey eksen genlikleri vermektedir, Şekil 8,9.

Genlikler (μV)



Şekil 8. Günlük PERG değerleri (P50 genlikleri).
Sag gözden alınan genlikler gösterilmiştir.



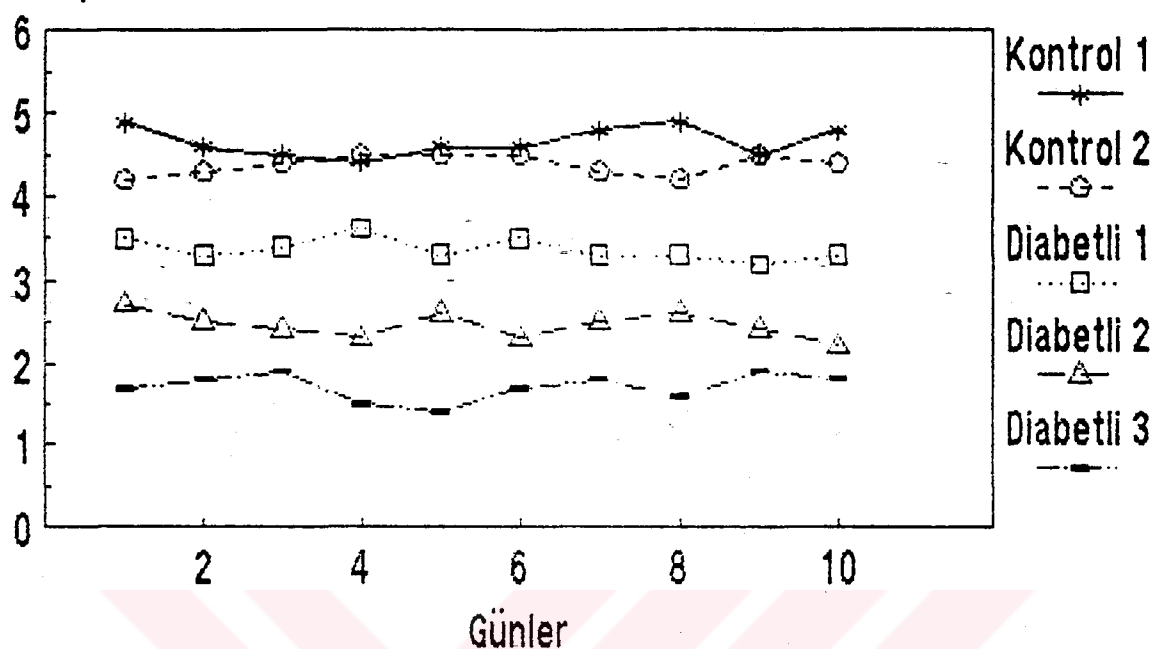
Sekil 9. Günlük PERG değerleri (N95 genlikleri).
Sag gözden alınan genlikler gösterilmiştir.

Degisik günlerde kaydedilen PERG değerlerinde cevaplardaki degisenlik de kontrol grubundaki iki bireyde P50 için $\pm 0.15 \mu\text{V}$ ve N95 için $\pm 0.095 \mu\text{V}$, diabetli gruptaki üç bireyde ise P50 için $\pm 0.15 \mu\text{V}$, ve N95 için $\pm 0.083 \mu\text{V}$ kadar-dır. Yatay eksen kayitlarının alindigi saati, dikey eksen genlikleri vermektedir, Sekil 10,11.

Kalibrasyon

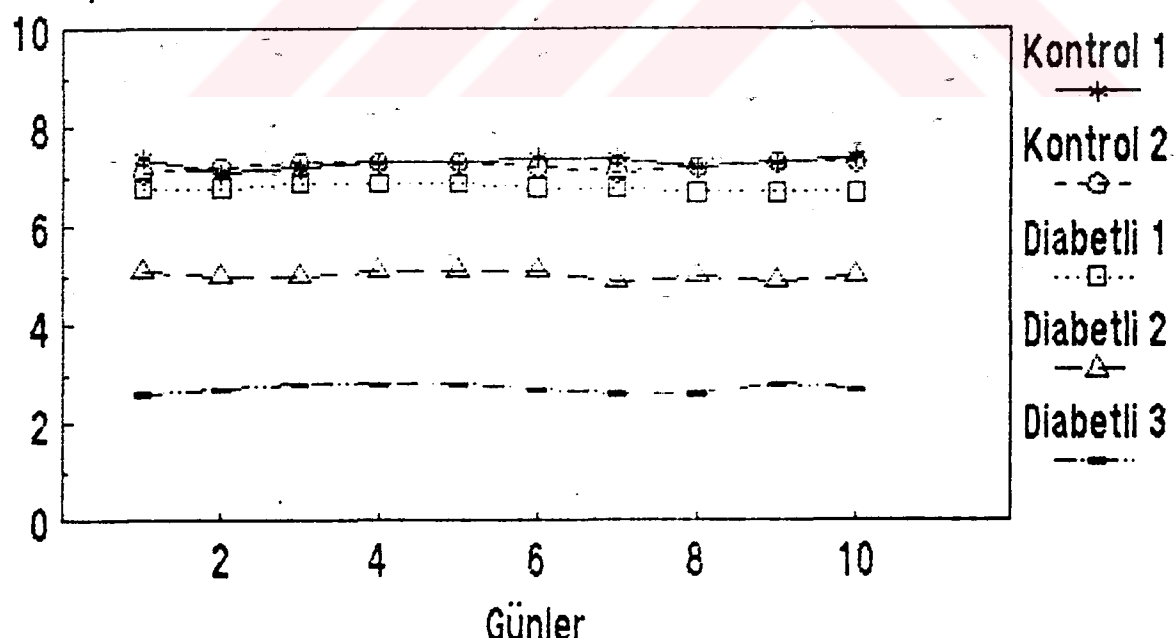
Gerek kayıt için kullanılan Medelec Neuropto cihazi-nın ve OSS stimülatörünün, gerekse televizyonun içindeki voltaj regülatörünün daha verimli çalışması ve sehir elek-trigindeki oynamaların yaratabilecegi arızaları önleyebil-

Genlikler (μ V)



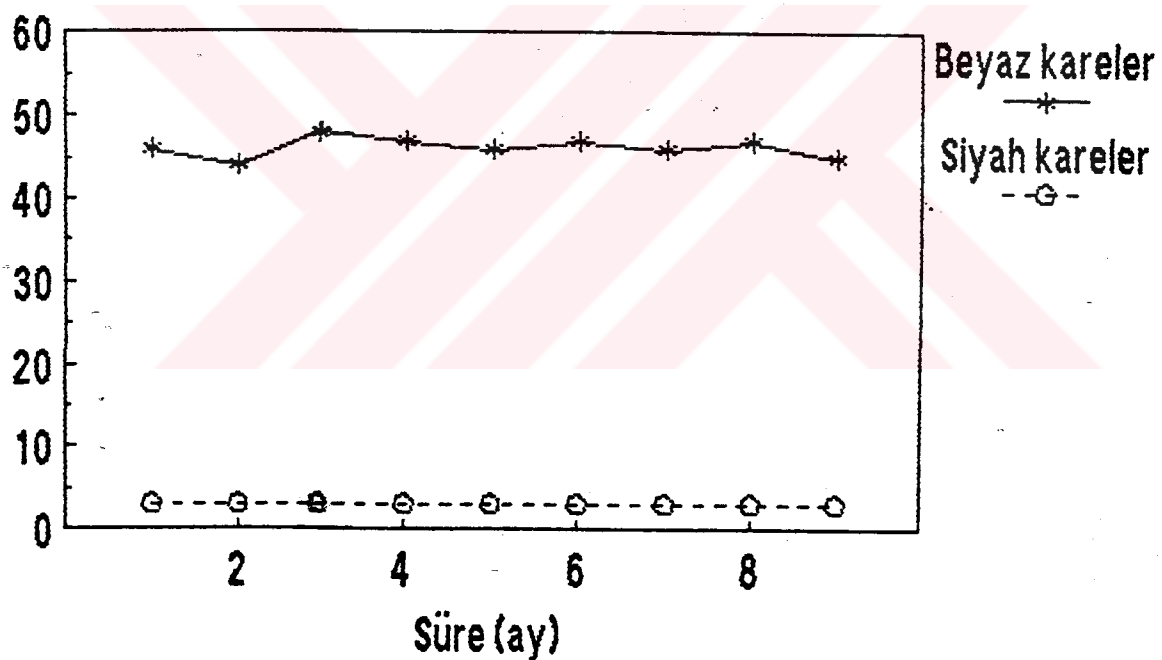
Sekil 10. Degisik gunlerde PERG degerleri (P50 genlikleri).
Sag gözden alınan genlikler gösterilmiştir.

Genlikler (μ V)



Sekil 11. Degisik gunlerde PERG degerleri (N95 genlikleri).
Sag gözden alınan genlikler gösterilmiştir.

mek için sistemin tamamı 220 ± 5 voltta çalışabilen bir jeneratöre bağlanmıştır. Televizyon tüpünün zaman içinde çıkış gücünün değişip degişmediği J6503 lüminans probu kullanılarak Tektronix J16 dijital fotometre ile dokuz aylık bir zaman aralığında birer ay aralarla ölçümler alınarak incelenmiştir. Ekran aydınlanmasında çok fazla oynamaların olmadığı ve siyah-beyaz kareler arasında seçilen kontrastın % 89-93 arasında değiştiği görülmektedir, Sekil 12.

Lüminans (cd/m^2)

Sekil 12. Siyah ve beyaz karelerin televizyon ekranı üzerinden yapılan fotometrik ölçümleri.

Istatistik Değerlendirme

Istatistik değerlendirmelerde Student t testi kullanılmıştır.

BULGULAR

Kontrol grubunda sağlıklı olarak bilinen ve/veya kabul edilen bireylerin PERG kayıt sonuçları Tablo 1'de verilmiştir.

Tablo 1. Yaşıları 12-64 arasındaki 50 normal bireyin PERG P50 ve N95 latens(ms) ve genlikleri(µV). Latensler mili-saniye, genlikler mikrovoltX10 olarak verilmiştir.

Yaş	P50		N95		Yaş	P50		N95									
	Sağ	Sol	Sağ	Sol		Sağ	Sol	Sağ	Sol								
ms	µV	ms	µV	ms	µV	ms	µV	ms	µV								
12	48	46	51	51	90	72	88	70	13	50	44	48	48	92	79	93	80
15	50	53	50	51	90	79	91	76	17	52	48	50	52	90	72	90	70
18	49	51	50	53	88	79	90	77	18	50	50	48	52	92	72	93	69
19	52	48	53	50	89	78	92	78	20	51	51	52	54	90	73	89	71
20	50	49	54	52	74	76	90	73	21	53	53	53	55	94	76	91	74
21	54	53	51	53	96	81	92	73	21	52	53	48	56	91	73	91	70
21	49	48	50	49	96	75	92	72	23	48	47	51	50	88	74	90	72
23	56	49	53	52	92	71	90	69	24	51	47	52	53	91	72	91	71
25	53	59	50	58	93	88	91	85	26	53	54	52	55	90	78	91	79
27	52	60	51	58	75	87	90	88	27	50	58	51	59	92	81	90	80
28	52	55	53	57	92	82	90	84	28	54	53	52	57	91	80	93	79
29	50	55	51	56	70	84	91	81	31	52	53	50	55	73	78	91	76
32	56	57	52	55	90	81	92	84	33	52	55	53	57	90	73	90	74
34	53	53	50	54	93	79	91	77	35	49	52	51	52	87	72	89	72
37	50	48	51	50	94	71	92	73	38	51	47	51	49	91	70	90	73
39	49	45	50	49	92	73	90	74	41	50	43	50	46	92	66	92	68
41	54	42	51	42	93	67	90	65	42	53	41	51	44	90	57	91	58
42	50	44	50	45	90	66	92	68	43	52	49	51	51	92	63	92	64
43	51	42	52	44	91	66	90	64	45	50	46	50	46	90	66	88	66
47	50	39	53	40	90	61	91	63	46	54	45	52	47	91	62	90	66
48	50	40	48	43	91	62	92	60	49	52	40	50	43	90	64	92	61
50	51	42	53	45	93	60	91	63	52	51	46	52	43	91	66	91	68
52	50	38	51	41	91	57	93	56	54	53	42	53	47	90	63	93	67
53	52	43	52	44	90	63	91	64	59	50	40	51	43	92	61	90	60
62	51	44	50	42	93	61	92	60	64	52	41	50	45	90	58	90	59

Erkek kontrol grubu	Kadın kontrol grubu
---------------------	---------------------

Tablo 1'deki veriler incelendiğinde, 100 gözde normal PERG değerleri P50 için 51.2 ± 1.6 ms ve 4.9 ± 0.6 µV, N95 için 91.1 ± 1.6 ms ve 7.1 ± 0.8 µV'dur. P50 ve N95 latensi 48-54 ms

ve 88-96 ms, P50 ve N95 genliği 3.8-6.0 μ V ve 5.6-8.8 μ V arasında değişmektedir. 40 yaş üzerindeki olgularda cevapların ortaya çıkış sürelerinde herhangi bir fark saptanamazken ($p>0.05$), hem P50 hem de N95 genliklerinde belirgin şekilde azalma görülmektedir ($p<0.01$). PERG cevaplarında lateralite (sağ-sol göz arası) ve cinsiyet farkları saptanamamıştır ($p>0.05$), Tablo 2.

Tablo 2. Normal PERG değerleri. Latensler milisaniye, genlikler mikrovolt olarak ortalama \pm standart sapma şeklinde verilmiştir.

	Latens		Genlik	
	P50	N95	P50	N95
Grup ortalaması	51.2\pm1.6	91.1\pm1.6	4.9\pm0.6	7.1\pm0.8
Alt ve üst sınır	48-54	88-96	3.8-6.0	5.6-8.8
40 yaş altı (62 göz)	51.2\pm1.8	91.2\pm1.8	5.2\pm0.4	7.6\pm0.5
40 yaş üstü (38 göz)	51.2\pm1.3	91.1\pm1.2	4.3\pm0.3	6.3\pm0.3
Sağ göz ortalaması	51.3\pm1.8	91.4\pm1.8	4.8\pm0.6	7.1\pm0.8
Sol göz ortalaması	51.0\pm1.4	90.9\pm1.2	5.0\pm0.5	7.1\pm0.8
40 yaş altı sağ göz	51.3\pm2.1	91.5\pm2.1	5.2\pm0.4	7.7\pm0.5
40 yaş altı sol göz	51.0\pm1.5	90.8\pm1.2	5.3\pm0.3	7.6\pm0.5
40 yaş üstü sağ göz	51.4\pm1.4	91.1\pm1.1	4.2\pm0.3	6.3\pm0.3
40 yaş üstü sol göz	51.1\pm1.3	91.1\pm1.2	4.4\pm0.3	6.3\pm0.4
Erkek kontrol grubu (Yaş ort:33.7\pm14)	51.2\pm1.8	91.4\pm1.7	4.9\pm0.6	7.2\pm0.9
Kadın kontrol grubu (Yaş ort:34.8\pm14)	51.1\pm1.5	90.9\pm1.3	4.9\pm0.5	7.0\pm0.7
Yaş Grubu				
12-21 (26 göz)	50.7\pm1.8	91.3\pm2.1	5.1\pm0.3	7.5\pm0.4
22-31 (22 ")	51.7\pm1.7	91.1\pm1.5	5.5\pm0.4	7.9\pm0.6
32-41 (18 ")	51.3\pm1.8	91.1\pm1.5	5.0\pm0.5	7.3\pm0.5
42-51 (20 ")	51.2\pm1.5	90.9\pm1.1	4.4\pm0.3	6.3\pm0.3
52-64 (14 ")	51.3\pm1.1	91.2\pm1.2	4.3\pm0.2	6.2\pm0.4

Diabetli hasta grubunda PERG kayıt sonuçları Tablo 3'de verilmiştir.

Tablo 3. Yaşıları 12-75 arasındaki 55 diabetli hastada PERG P50 ve N95 latens(ms) ve genlikleri(µV). Latensler mili-saniye, genlikler mikrovoltX10 olarak verilmiştir.

Yaş	P50				N95				Yaş	P50				N95			
	Sağ ms	pV	Sol ms	pV	Sağ ms	pV	Sol ms	pV		Sağ ms	pV	Sol ms	pV	Sağ ms	pV	Sol ms	pV
12	50	48	51	46	90	85	89	75	20	51	46	53	53	96	76	94	82
23	50	36	50	39	91	67	91	73	24	48	59	48	58	92	85	92	85
25	54	58	53	56	88	81	93	78	28	51	55	52	53	91	84	91	81
28	53	23	53	21	94	43	93	41	30	49	45	50	43	92	69	92	64
30	49	25	50	26	89	51	91	54	31	49	36	49	35	92	57	94	56
34	52	39	52	37	97	67	98	65	35	53	39	56	39	90	65	93	68
40	54	45	53	43	96	76	92	72	36	49	32	51	34	94	51	90	54
40	51	29	52	32	95	63	94	61	37	53	27	50	28	96	51	96	62
45	49	39	51	38	93	67	93	64	41	51	26	52	30	88	48	89	53
46	54	9	55	8	96	13	98	12	43	52	47	54	49	93	68	92	67
46	56	29	52	28	90	50	91	51	44	53	44	55	46	94	71	95	70
50	51	26	51	22	93	49	96	47	46	53	54	53	51	92	82	94	83
53	53	27	53	29	92	46	90	44	48	53	22	51	25	97	41	95	44
53	53	39	55	42	92	67	91	71	48	53	40	54	41	92	71	94	71
54	52	39	51	42	93	64	93	69	53	52	32	54	28	92	45	90	39
55	52	34	52	31	94	64	93	60	53	54	39	55	39	95	59	92	63
57	53	36	54	37	93	64	92	66	54	51	21	53	20	90	37	92	39
59	57	19	56	16	91	35	95	35	55	50	32	51	31	94	59	92	58
61	51	32	55	44	94	49	90	58	55	53	42	52	40	94	68	91	62
62	51	34	53	36	90	58	93	65	55	55	41	55	46	92	72	91	77
66	57	16	56	15	96	25	98	24	56	55	41	53	36	92	63	94	59
67	56	11	54	9	95	16	95	15	58	53	38	52	37	93	60	93	61
67	53	19	53	17	96	30	93	26	59	49	34	49	37	92	53	92	54
70	58	30	57	28	96	39	92	35	60	56	19	55	22	94	28	96	38
									60	55	27	51	27	89	51	92	48
									62	54	35	55	25	90	51	92	42
									65	56	9	54	30	97	13	—	—
									72	54	9	52	10	91	14	89	17
									75	56	21	55	18	98	32	98	28

Erkek diabetli olgular

Kadın diabetli olgular

Tablo 3'deki 109 diabetli gözün PERG değerleri P50 için 52.7 ± 2.2 ms ve 3.3 ± 1.2 μ V, N95 için 92.9 ± 2.4 ms ve 5.5 ± 1.8 μ V'dur. P50 ve N95 latensi 48-58 ms ve 88-98 ms, P50 ve N95 genliği 0.8-5.9 μ V ve 1.2-8.5 μ V arasında değişmektedir. Kontrol grubuya karşılaştırıldığında, cevapların ortaya çıkış sürelerinde fark saptanamazken ($p > 0.05$), genliklerdeki farklar anlamlıdır ($p < 0.01$). Diabetli olgularda lateralite farkları hem grup bütününde, hem de 40 yaş altı ve üstü grplarda yoktur ($p > 0.05$). Erkek ve kadın hastalar arasında da grup bütününde anlamlı fark yoktur ($p > 0.05$),

Tablo 4.

İncelenen diabetiklerde yaş ortalaması kontrol grubuna kıyasla yüksektir. 65 yaş ve üzerindeki olgular dikkate alınmadığında bile grubun yaş ortalaması değişmemektedir (45.6 ± 13.0). Kontrol grubundan farklı olarak 30 yaş altındaki olgu sayısı azdır (9 olgu-18 göz), ve ileri yaş grubunda genlikler anlamlı bir şekilde azalmaktadır. Diabetli olguları gözdibi değişikliklerine göre sınıflandırdığımız zaman, P50 ve N95 genliklerinin evre I-IV arasında muntazam bir şekilde azalma gösterdiği, birinci ve ikinci grup olarak değerlendirilen evre I ve II'deki olguların genlik ortalamalarının, üçüncü ve dördüncü gruptakilere (Evre III ve IV) kıyasla çok daha iyi olduğu görülmektedir. P50 ve N95 genlik ortalamaları evre IV'de evre III'ün, evre III+IV'de de evre I+II'nin yarısı degerdedir. En az fark I ve II.evreler arasındadır ve II.evrede genlikler normal kontrol grubundaki en düşük değerlerin de altına inmektedir, Tablo 4.

Tablo 4. Diabetlilerde PERG değerleri. Latensler milisaniye, genlikler mikrovolt olarak ortalama \pm standart sapma şeklinde verilmiştir.

	Latens		Genlik	
	P50	N95	P50	N95
Grup ortalaması	52.7\pm2.2	92.9\pm2.7	3.3\pm1.2	5.5\pm1.8
Alt ve üst sınır	48-58	88-98	0.8-5.9	1.2-8.5
40 yaş altı(32 göz)	51.2\pm1.9	92.7\pm2.5	4.0\pm1.1	6.7\pm1.3
40 yaş üstü(77 göz)	53.4\pm2.0	92.9\pm2.3	3.0\pm1.1	5.0\pm1.8
Sağ göz ortalaması	52.7\pm2.4	92.9\pm2.5	3.3\pm1.2	5.5\pm1.9
Sol göz ortalaması	52.8\pm2.0	92.8\pm2.3	3.4\pm1.2	5.6\pm1.8
40 yaş altı sağ göz	51.0\pm2.0	92.7\pm2.8	4.0\pm1.1	6.7\pm1.4
40 yaş altı sol göz	51.4\pm2.0	92.7\pm2.2	4.0\pm1.1	6.7\pm1.2
40 yaş üstü sağ göz	53.4\pm2.2	93.0\pm2.3	3.0\pm1.1	5.0\pm1.8
40 yaş üstü sol göz	53.3\pm1.8	92.9\pm2.3	3.1\pm1.1	5.1\pm1.8
Erkek diabetliler (Yaş ort:47.7\pm15.8)	52.9\pm2.2	93.1\pm2.5	3.1\pm1.2	5.3\pm1.9
Kadın diabetliler (Yaş ort:49.3\pm13.8)	52.6\pm2.2	92.7\pm2.2	3.5\pm1.2	5.7\pm1.7
Yaş Grubu				
12-21 (4 göz)	51.3\pm1.3	92.3\pm3.3	4.8\pm0.3	8.0\pm0.5
22-31 (16 ")	50.5\pm1.9	91.6\pm1.6	4.2\pm1.3	6.7\pm1.5
32-41 (14 ")	52.1\pm1.7	93.4\pm3.2	3.4\pm0.6	6.1\pm0.9
42-51 (18 ")	52.8\pm1.8	93.8\pm2.1	3.4\pm1.4	5.7\pm2.0
52-61 (38 ")	53.1\pm1.9	92.4\pm1.6	3.3\pm1.6	5.5\pm1.2
62-75 (20 ")	54.6\pm1.8	98.7\pm3.1	2.1\pm0.9	3.4\pm1.7
Evre I (54 göz)	52.1\pm2.0	92.4\pm1.7	4.0\pm0.9	6.6\pm1.1
Evre II (20 ")	52.8\pm2.4	93.6\pm2.3	3.6\pm0.5	6.1\pm1.0
Evre III (20 ")	52.8\pm2.0	92.2\pm3.0	2.7\pm0.6	4.5\pm0.8
Evre IV (15 ")	54.9\pm1.5	94.7\pm2.6	1.4\pm0.5	2.3\pm0.9
Evre I+II (74 göz)	52.3\pm2.1	92.7\pm1.9	3.9\pm0.8	6.4\pm1.1
Evre III+IV (35 ")	53.7\pm2.1	93.2\pm3.1	2.1\pm0.8	3.5\pm1.4

Diabetli hastalarda IV. evredeki olgular hariç, yaş ortalamaları evreleri oluşturan grup bütününde benzerdir. Erkek ve kadın hastalar arasında ise küçük farklar izlenmektedir, Tablo 5.

Tablo 5. Diabetlilerde PERG değerlerinin dağılımı. Latensler milisaniye, genlikler mikrovolt olarak ortalamat standart sapma şeklinde verilmiştir.

	Latens		Genlik	
	P50	N95	P50	N95
Evre I (54 göz) (Yaş Ort:44.4±14.5)	52.1±2.0	92.4±1.7	4.0±0.9	6.6±1.1
Erkekler (20 göz) (Yaş Ort:41.1±15.4)	51.7±1.5	92.2±2.0	3.8±1.0	6.5±1.1
Kadınlar (34 göz) (Yaş Ort:46.4±14.0)	52.4±2.2	92.4±1.5	4.2±0.9	6.6±1.1
Evre II (20 göz) (Yaş Ort:47.1±13.3)	52.8±2.4	93.6±2.3	3.6±0.5	6.1±1.0
Erkekler (10 göz) (Yaş Ort:52.6±15.1)	53.7±2.2	93.9±2.6	3.7±0.5	6.1±1.3
Kadınlar (10 göz) (Yaş Ort:41.6±9.8)	51.8±2.3	93.3±1.9	3.5±0.5	6.2±0.7
Evre III (20 göz) (Yaş Ort:49.8±14.5)	52.8±2.0	92.2±3.0	2.7±0.6	4.5±0.8
Erkekler (8 göz) (Yaş Ort:41.3±15.4)	52.4±2.4	91.5±1.9	2.9±0.7	5.0±0.6
Kadınlar (12 göz) (Yaş Ort:55.5±11.8)	53.1±1.7	92.6±3.6	2.5±0.5	4.2±0.7
Evre IV (15 göz) (Yaş Ort:62.8±7.9)	54.9±1.5	94.7±2.6	1.4±0.5	2.3±0.9
Erkekler (10 göz) (Yaş Ort:61.0±9.0)	55.1±1.5	95.3±2.1	1.4±0.4	2.3±0.9
Kadınlar (5 göz) (Yaş Ort:65.7±6.0)	54.6±1.7	93.4±3.4	1.4±0.6	2.2±1.1
Evre I+II (74 göz) (Yaş Ort:45.2±14.0)	52.3±2.1	92.7±1.9	3.9±0.8	6.4±1.1
Erkekler (30 göz) (Yaş Ort:44.9±15.8)	52.4±2.0	92.8±2.3	3.7±0.8	6.3±1.2
Kadınlar (44 göz) (Yaş Ort:45.3±13.1)	52.2±2.2	92.6±1.6	4.0±0.9	6.5±1.1
Evre III+IV (35 göz) (Yaş Ort:55.6±13.5)	53.7±2.1	93.2±3.1	2.1±0.8	3.5±1.4
Erkekler (18 göz) (Yaş Ort:52.2±15.4)	53.9±2.3	93.6±2.8	2.0±0.9	3.5±1.5
Kadınlar (17 göz) (Yaş Ort:58.9±11.1)	53.5±1.8	92.8±3.4	2.2±0.8	3.6±1.2

TARTIŞMA ve SONUÇ

Diabetik retinopati, diabetes mellitusun sistemik komplikasyonlarından biridir. Metabolik aktivitenin bozulması ve retina damarlarında permeabilite değişiklikleri yanında bugün için hala anlaşılamayan bazı mekanizmalarla retinanın anatomik ve fizyolojik işlevleri etkilenir. Retinada yer yer görülen kanama ve eksüdalar dolaşımın bozulmaya başladığının işaretidir. Bunu damar tıkanıklıkları takip eder. Retina arterioller ve kapillerler kapanır ve sonuçta iskemi ve hücrelerde ölüm gelişir. İskemi nedeniyle sekonder değişiklikler de tabloya eşlik etmeye başlar. Retinada ödem ve fibrovasküler oluşumlar başlar. Görme keskinliği vitreus kanamaları ve retina traksiyonları ile giderek azalır ve sonuçta körlük gelişir. Diabetik retinopatide ve genel olarak retinanın vasküler hastalıklarında bu değişikliklerin retinanın sadece çok küçük bir bölümünde başlayabilecegi ve komşu bölgeler normal görünümde ve yapıda olsalar bile hasarın çok sinsi bir biçimde gelişeceğini unutmak gereklidir. Bir diğer önemli husus da bu komplikasyonların ne zaman gelişebileceginin önceden kestirilememesidir. Genel olarak diabet tanısı konuktan bir kaç yıl sonra başlayabilirse de damar tıkanmaları ve iskeminin ne zaman gelişebilecegi tahmin edilemez(11,14). Beş yıllık bir süre içinde görmesini tamamen kaybeden diabetikler olduğu gibi, 30-40 yıl boyunca görme keskinliginde değişiklik olmayan hastalar

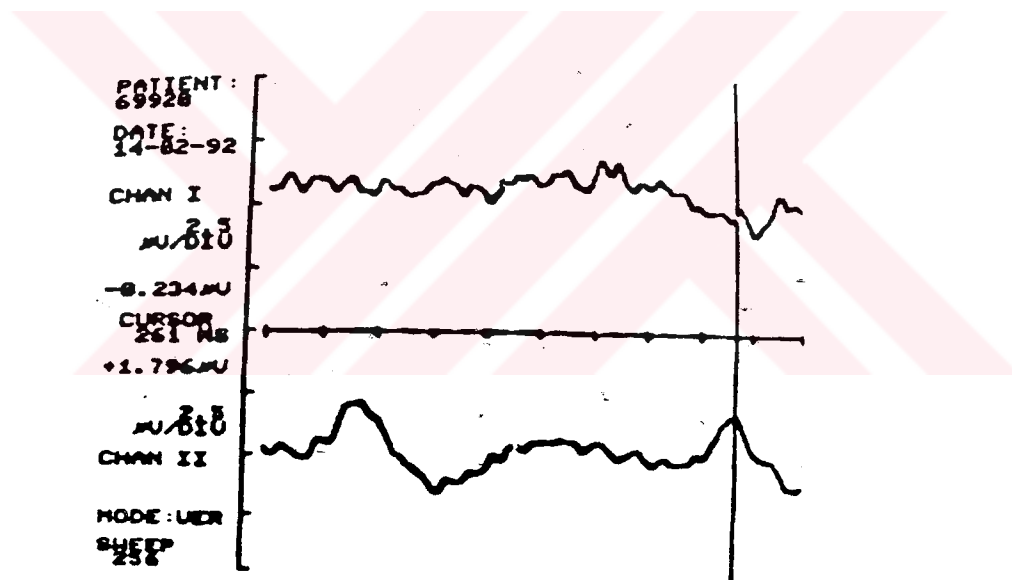
da vardır. Diabetik retinopati patogenezinde bugün için hala anlaşılamayan pek çok faktör ve mekanizma bu farklılıklarını yaratmaktadır. Oftalmolojik olarak görme keskinliği azaldığı ve retina'da yaygın belirtiler bulunduğu zaman retinopati tanısının konabilmesi mümkün olmaktadır. Daha erken evrede diabetin retina'da yaptığı hasarın görülebilmesi ve tespit edilebilmesi renkli fundus fotoğrafları ve flöresein fundus anjiografisi (FFA) gibi yöntemlerle sağlanabilirse de, renkli fundus fotoğrafının yeterince hassas olmaması, FFA'nın ise damar yoluyla yapıldığından (invaziv bir teknik olması nedeniyle) sık aralarla tekrarının sakınçalı olmasıdır. Bir diğer sorun da bu tekniklerin uygulanmasının zaman alıcı ve pahalı olmasıdır. Pupiloların genişletilme zorunluluğu ve ileri yaş grubundaki hastaların gene ve alınları sıkı sıkıya bir cihaza dayalı durumdayken, kol venlerinden birinden kateterle boyalı madde (sodyum flöresein) verilmesi sırasında ortaya çıkabilecek sistemik komplikasyonlar (allerji, anaflaksi, şok gibi) diğer dezavantajlardır. FFA'den sonra bazı kan tetkiklerinin de yalancı pozitif sonuç vermesi (Coombs+, AKŞ yükselmesinin ve ASO titrajının yalancı pozitif olması), cildin ve idrarın sarıya boyanması gibi durumlarla da sıkça karşılaşılmaktadır. Inert olduğu bildirilen sodyum flöreseinin mükerrer zerklerinde aşırı duyarlık reaksiyonlarının da oluşabileceğini unutmamak gereklidir(16,47). Bu nedenle klinik uygulamada hastaya zarar vermeyecek, süratli ve objektif yöntemler tercih edilmelidir. Bu yöntemlerden biri ERG'dir.

Gözde sağlıklı bir potansiyel değişimi olabilmesi için retinanın pigment epitelinden ganglion hücrelerine kadar olan kısmının sağlam olması gereklidir. Fotoreseptör tabakaların aktivitesi sonucu "a", orta retina katlarının aktivitesi sonucu "b" dalgasının olduğu deneySEL ve klinik verilerle doğrulanmışsa da, ERG'de major değişikliklerin izlendiği "b" dalgası esas olarak bipolar ve Müller hücrelerinin elektrik aktivitesini yansıtır(1,6,23,29). Her ne kadar OP'lerin erken evrede etkilendiği kanıtlanmışsa da(5, 12), hastalığın ilerlemesine spesifik olmadığını dair görüşler daha hakimdir(48). Bu nedenle diabet gibi doku, organ, ve sistemleri bir bütün olarak etkileyen hastalıklarda, mevcut hasarın retinanın ganglion hücrelerinde ve optik sinir başında da olup olmadığını anlaşılmamaktadır, görme kaybının esas nedeni ve gerçek hasar hakkında daha iyi bir değerlendirme sağlar(25,46). Zira retinanın fotokoagülasyonla tedavisi hala bir sorundur(16). Kapiller perfüzyonun bozulmadığı durumlarda lazer tedavisi için çekimser kalınlmaktadır. Oysa diabette damar tıkanması gelişir, ödem ve eksüda gibi oluşumlar sekonderdir. Oftalmoskopik olarak tanı konabildiği zaman anoksi yerleşmiş olabilir. PERG yöntemi bu sınırları anlamamızı yardımcı gibi gözükmektedir. Birinci ve ikinci grup olarak sınıflandırılan hastaların (Evre I ve II) PERG genlikleri kontrol grubuya kıyaslandığında, üçüncü ve dördüncü gruptaki hastalardan (Evre III ve IV) daha iyidir. Üçüncü grupta anlamlı bir şekilde azalmaya başlayan genlikler, dördüncü grupta daha da anlamlı hale gelmektedir. Evre

IV, oftalmoskopla yaygın damar değişikliklerinin rahatça görülebildiği ve FFA'de anoksik bölgelerin tespit edilebileceği bir evredir. Bu evrede görme keskinliği mutlaka etkilenmiştir ve renk görmede bozukluk gibi önemli görsel eksiklikler yerleşmiştir(28). Lazer tedavisi için pek çok olguda FFA'ye bile gerek duyulmaz(21). Evre III ise daha az olmakla birlikte yaygın gözdibi belirtilerine karşılık, bazı olgularda görsel belirti vermez. Bu nedenle hastalarda farkedilebilir bir görme azalması yokken bile tedavinin başlaması gerektiğini işaret eder. Evre I ve II'de her ne kadar genlikler normal kontrol grubuna kıyasla düşük ise de bu gruptardaki yaş ortalamalarının kırk yaş üzerinde olmaları nedeniyle, kontrol grubundaki 42-51 yaş grubu ile kıyaslanması daha uygun olur. Bu yapıldığında genlikler arasında fark görülmemektedir ($p>0.05$). Normal bireylerde de PERG genliklerinde farklılıklar vardır ancak bu fark özellikle II. ve III. evredeki diabetliler kadar çok degildir. Örnegin ikinci gruptaki diabetlilerde, üçüncü ve dördüncü gruptaki genlik seviyelerinde değerler vardır. Bunun nedeni hücresel hasarın oftalmoskopla belirlenebilen hasarıla eşdeğer olmamasıdır. Oftalmoskopla görülemeyen sizıntılar olabileceği gibi görülebilen kanama ve eksüda gibi gözdibi değişiklikleri zaman içinde farklılıklar gösterebilmekte ve azalıp çoğalabilmektedir. Bu nedenle özellikle II. ve III. evre olarak nitelenen hastaların klinik olarak kesin ayrimı yapılamamaktadır. Kanaatimce gözdibi değişiklikleri tespit edildikten sonra hastaların olanak varsa elek-

trofizyolojik yöntemlerle çok dikkatli bir şekilde takip edilmesi ve olası hücresel değişikliklerin belirlenebilmesi gereklidir.

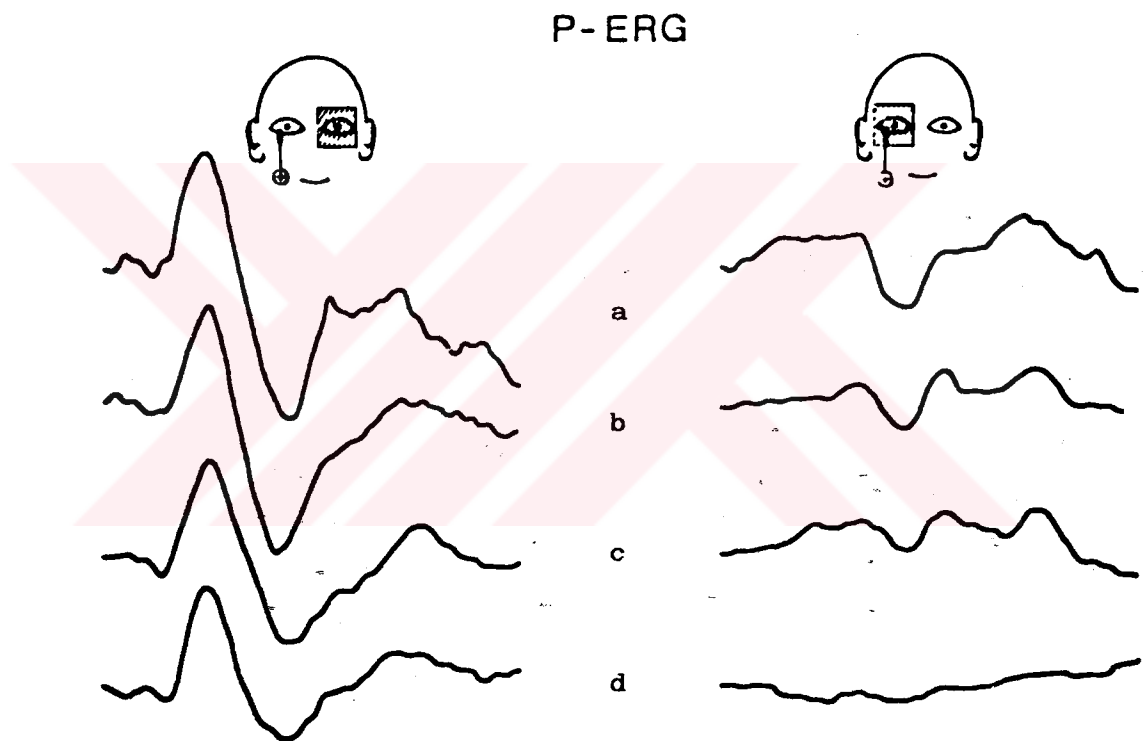
Gerek kontrol grubunda, gerekse diabetli hastalarda PERG cevaplarında gruplar genelinde lateralitenin görülmemesi, kayıtların aynı anda her iki gözden birden alınması nedeniyle iki göz arasında çapraz etkileşimi düşündürürebilir. Desen değişimine fiksasyon olmadığı zaman cevap alınamaması bu olasılığı ortadan kaldırmaktadır, Şekil 13.



Şekil 13. Sağ göz önüne (üstteki trase) desen değişimine fiksasyonu bloke etmek için siyah karton kapatılmıştır. Çapraz etkileşim yoktur ve sağ gözden PERG cevabı alınamamaktadır.

Diger elektrofizyolojik yöntemlerde olduğu gibi PERG kaydı için de uygun fizik koşulların sağlanması şarttır. Ortam aydınlatmasının yeterli olması(43), kayıtlarda karan-

lîk adaptasyonunun önlenmesi gereklidir(50). Aksi takdirde elde edilen sonuçlar değişken çıkabilir. Traselerdeki fotoelektrik aktivitelerden ve elektrod pozisyonlarından kaynaklanabilecek kirlenmeler ve voltaj yüklenmeleri çok iyi tâminmalıdır. Referans elektrodun kulak memesine veya şakak bölgesi dışında bir bölgeye yerleştirilmesi cevaplarda kontaminasyona neden olmaktadır(7), Şekil 14.



Sekil 14. Referans elektrodunun pozisyonuna göre PERG cevapları. Referans elektrodun:
a)Kulak üzerinde,
b)Kulağın 2.5 santimetre uzaklığında,
c)Şakakın 2.5 santimetre uzaklığında,
ve d)Şakak üzerinde bulunduğu zaman traselerin durumu. Sol sütundaki cevaplarda uyarı elektroduñ baglandığı göze yapılmış ve diğer göz kapatılmış, sağ sütundaki cevaplarda ise elektroduñ baglandığı göz kapatılmış, uyarı diger göze verilmiştir. Referans elektrod şakak bölge sine baglandığı zaman kontaminasyon görülmemektedir.
(Berninger TA. Clin Vis Sci. 1986;1:185-190, modifiye edilerek alınmıştır).

Muayene edilen kişiye ait faktörler de dikkate alınmalıdır. Kişi de tashih edilmemiş refraksiyon bozukluğunun bulunması(31), akomodasyon felcine bağlı görme ekseninin odağ noktasında kayma(41) ve ileri yaş gruplarındaki hastalarda genel olarak bulunan retina atrofisi nedenleriyle genliklerde azalma beklenebilir(15,49).

Uygun klinik ve fizik şartlarda yapılan PERG kaydında cevabı etkileyen önemli faktörlerden biri televizyon ekranındaki siyah-beyaz karelerin yer değiştirmesinden oluşan aydınlanma (illüminasyon), digeri ise siyah-beyaz karelerin keskin kenarlarının yer değiştirmesinden oluşan desene bağlı kontrast değişimidir. Hem illüminasyon hem de kontrast değişimi retinada cevap oluşturduğundan bu iki cevabin birbirinden ayrılması ve illüminasyon cevabının ortadan kaldırılması gereklidir. Illüminasyon cevabı retinanın tamamından kaynaklanan ve PERG incelemesinde kontaminasyonunu istememelimiz periferik bölgedeki fotoreseptörlerin de aktivitesini yansıtır(2). PERG kaydındaki ana amaç kontrast cevabin alınmasıdır. Drasdo ve ark.nın(18) geliştirdiği bir yöntemle illüminasyonun ve kontrastın oluşturduğu cevaplar ayrı ayrı hesaplanmış ve bir metre mesafeden bakıldığından bir santimetre ebadındaki karelerin hareketiyle oluşturulan cevapta desen değişimine bağlı kontrasta özgü cevabin hakim olduğu belirlenmiştir. Bu çalışmada gerek ekran mesafesi gerekse desen ebadı bu verilerden daha da küçük olduğundan, değerlendirmelerde retina illüminasyonuna ait cevapların kontaminasyonu çok çok azdır.

Aydınlanma ve kontrast değişimi farklı cevaplar yaratabileceği gibi, uyarın olarak kullanılan siyah-beyaz karelerin birim zamandaki değişim hızları (temporal frekans) da cevabı etkiler. 10 Hz altındaki frekanslarda elde edilen cevaplar geçici, 10 Hz üzerinde (yaklaşık 14 Hz civarında) elde edilenler duran cevaplardır ve tamamıyla sinüzoidal bir şe^kil gösterirler. Yüksek frekanslarda elde edilen cevaplar sadece N95 komponentinden oluşurlar ve optik sinirin fonksiyonunu yansıtırlar(8,30). Bu nedenle PERG kaydında kullanılan 5 Hz'deki desen değişimi hem P50 hem de N95'in elde edilebileceği, görme keskinliği azalmış olguların bile algılayabilecekleri optimal bir temporal frekanstır. Buna rağmen görme keskinliğinin azalması, cevaplarda genlik azamasına yol açar(3,41). Diabetli grupta özellikle IV. evrede görme keskinlikleri azalmıştır. Acaba patolojik genlikler hakikaten diabete mi bağlıdır? Görme azalması ileri yaşlarda görüürse de diabet mevcudiyetindeki azalma hastalığa bağlı olarak gelişmektedir ve dolaylı olarak yine hücresel hasarın göstergesidir.

Bütün bu yeterli ve uygun şartlara rağmen çok küçük genliklerle çalışıldığından, bütün elektronik cihazlarda mevcut olan sinyal-gürültü mekanizmaları az da olsa sonuçları etkileyebilir(4). PERG değerlerinde, kişiler arasında ve hastalıktan etkilenme durumuna göre farklılıklar olması doğaldır. Ancak aynı kişide görülebilen genliklerdeki küçük oynamalar, yorgunluktan veya dikkat azalması gibi faktörlerden kaynaklanabilir. Ancak ölçüm parametrelerinin bütün

hasta ve kontrol gruplarında değiştirilmeden uygulanması, eger varsa hata payının herkes için eşit olacağını düşündürür. Diabet gibi bütün sistemleri etkileyebilen önemli bir hastalığa yakalanmış kişilerin dikkat ve zihni melekelerinin normal grupta incelenen bireylere kıyasla daha zayıf olabileceğini de unutmamak gereklidir.

ÖZET

Diabetik retinopatinin erken evrede tanınıp tedavi edilebilmesi, gelişebilecek körlüğün önlenmesi veya geciktirilmesi yönünden çok önemlidir. Retinada oftalmoskopla testpit edilebilir değişiklikler yokken bile hücresel hasar başlamış olabilir. Flöresein anjiografide mikroanevrizma, nokta-leke kanama gibi zemin retinopati bulguları ortaya çıkmadan önce hastaya zarar vermeyen bir yöntem olan desen elektroretinografi ile retinopatinin izlemi mümkündür.

Bu çalışmada, desen elektroretinografi yöntemi ile klinik olarak diabet tanısı konan olgularla normal kontrol grubu arasındaki farklar pozitif ve negatif komponentlerin analizi ile araştırılmıştır. Elde edilen veriler, henüz oftalmoskopla ve anjiografik olarak belirgin diabetik değişiklikler yokken bile, desen elektroretinografinin diabetik hasarla uyumlu başlangıç değişiklikleri gösterebildigini düşündürmektedir.

SUMMARY

Early diagnosis and treatment of diabetic retinopathy is essential in preventing or delaying visual loss. Cellular damage may precede ophthalmoscopically visible fundus changes. Before background changes like microaneurysms and dot-blot hemorrhages can be demonstrated using fluorescein angiography, follow-up of the retinopathy with a non-invasive technique, pattern electroretinography, is possible.

In this study, differences in the positive and negative components of the pattern electroretinogram between the clinically diagnosed diabetic and control subjects were investigated. The results implied that even in the absence of ophthalmoscopically and angiographically detectable diabetic fundus changes, pattern electroretinography still shows incipient cellular damage.

LITERATÜR

- 1) Adrian, E.D. (1945) The electrical response of the human eye. *J Physiol (London)*, 104, 84-104.
- 2) Arden, G.B., Carter, R.M., MacFarlan, A. (1984) Pattern and Ganzfeld electroretinograms in macular disease. *Br J Ophthalmol.* 68, 878-884.
- 3) Arden, G.B., Vaegen, Hogg, C.R. (1982) Clinical and experimental evidence that the pattern electroretinogram (PERG) is generated in more proximal layers than the focal electroretinogram (FERG). *Ann NY Acad Sci.*, 388, 580-601.
- 4) Arden, G.B., Gündüz, K., Perry, S. (1988) Colour vision testing with a computer graphics system. *Clin Vis Sci.* 2, 303-320.
- 5) Arden, G.B., Hamilton, A.M.P., Wilson-Holt, J., Ryan, S., Yudkin, J.S., Kurtz, A. (1986) Pattern electroretinograms become abnormal when background diabetic retinopathy deteriorates to a preproliferative stage:possible use as a screening test. *Br J Ophthalmol.*, 70, 330-335.
- 6) Armington, J.C., Thiede, F.C. (1954) Selective adaptation of components of the human electroretinogram. *J Opt Soc Am.*, 44, 779-786.
- 7) Berninger, T.A. (1986) The pattern electroretinogram and its contamination. *Clin Vis Sci.* 1, 185-190.
- 8) Berninger, T.A. and Schuurmans, R.P. (1985) Spatial tuning of the pattern ERG across temporal frequency. *Doc Ophthalmol.* 61, 17-25.
- 9) Bresnick, G.H. (1986) Diabetic retinopathy viewed as a neurosensory disorder(editorial). *Arch Ophthalmol.*, 104, 989-990.
- 10) Bresnick, G.H. (1989) Background diabetic retinopathy. In: *Retina*. Ed.S.J.Ryan, 327-366,CV Mosby Co,St.Louis.
- 11) Bresnick, G.H. (1991) Diabetic retinopathy. In: *Principles and practice of clinical electrophysiology of vision*. Eds. J.R.Heckenlively, G.B.Arden, 619-635,CV Mosby Co,St Louis.

- 12) Bresnick, G.H., Palta, M. (1987) Predicting progression to severe proliferative diabetic retinopathy. Arch Ophthalmol., 105, 929-933.
- 13) Bresnick, G.H., Korth, K., Groo, A., and Palta, M. (1984) Electroretinographic oscillatory potentials predict progression of diabetic retinopathy. Arch Ophthalmol. 102, 1307-1311.
- 14) Cahill, G.F., Etzweiler, D.D., and Freinkel, N. (1976) "Control" and diabetes. N Eng J Med., 294, 1004-1005.
- 15) Celesia, G.G., and Daly, R.F. (1977) Effects of ageing on visual evoked responses. Arch Neurol. 34, 403-407.
- 16) Davis, M.D. (1989) Diabetic retinopathy. In: Retina. Ed.S.J.Ryan, 367-402, CV Mosby Co, St.Louis.
- 17) Dewar, J., McKendrick, J.G. (1873) On the physiological action of light. Trans R Soc, Edinburgh 27, 141-166.
- 18) Drasdo, N., Cox, W., Thompson, D.A. (1987) The effects of image degradation on retinal illuminance and pattern responses to checkerboard stimuli. Doc Ophthalmol. 66, 267-273.
- 19) DuBois-Reymond, E. (1849) Untersuchungen über die tierische Elektrizität, Ed.G.Reumer, vol.2, p.256, Berlin.
- 20) Einthoven, W., Jolly, W. (1908) The form and magnitude of the electrical response of the eye to stimulation at various intensities. Q J Exp Physiol, 1, 373-416.
- 21) Frank, R.N. (1989) Etiologic mechanisms in diabetic retinopathy. In: Retina, Ed.S.J.Ryan, 301-326, CV Mosby Co, St.Louis.
- 22) Gjotterberg, M. (1974) The electroretinogram in diabetic retinopathy: a clinical study and critical survey. Acta Ophthalmol(Kbh). 52, 521-533.
- 23) Gouras, P. (1970) Electroretinography: Some basic principles. Invest Ophthalmol., 9, 557-569.
- 24) Gündüz, K. (1992) Diabetik retinopatide spesifik tanı yöntemleri. Türk Oft.Dernegi XIV.Kış Semp.Bült., 16-18, Ceylan Matb., Konya.
- 25) Gündüz, K., Dogan, Ö.K. (1988) Elektrodiagnostik yöntemler(II)-Pattern elektroretinografi. T. Oft. Gaz., 18, 435-440.

- 26) Gündüz, K., Dogan, Ö.K. (1988) Elektrodiagnostik yöntemler(III)-Görsel uyarıya kortikal cevap (VECR veya VER). T. Oft. Gaz., 18, 441-446.
- 27) Gündüz, K., Özbayrak, H. (1991) Diabetik retinopatide gözdiği değişiklikleri ve elektroretinografik bulgular. T. Oft. Gaz., 21, 405-408.
- 28) Gündüz, K., Arden, G.B., Perry, S. (1989) A new test of colour vision using TV and computergraphics:Results in some acquired eye diseases. In: Seeing Contour & Colour, Ed.J.Kulikowski, 373-380, Pergamon Press, Oxford-Toronto.
- 29) Gündüz, K., Dogan, Ö.K., Pekel, H. (1988) Elektrodiagnostik yöntemler(I)-Elektroretinografi ve elektrookülografi. T. Oft. Gaz., 18, 423-434.
- 30) Gündüz, K., Okutan, S., Özkanlıcı, A. (1992) Diabetik retinopati tanısında yeni uygulama: 10 Hz desen değişimli görsel uyarıya kortikal cevap. Türk Oft.Dern.XIV.Kış Semp.Bült., 61-64, Ceylan Matb., Konya.
- 31) Hess, R.F., and Baker, C.L. (1984) Human pattern-evoked electroretinogram. J Neurophysiol. 51, 939-951.
- 32) Holder, G.E. (1987) Significance of abnormal pattern electroretinography in anterior visual pathway dysfunction. Br J Ophthalmol., 71, 166-171.
- 33) Holmgren, F. (1865) En method att objektivera effekten av zjusintryek på retina. Ups Lakareforenings Forth, 1, 177-191.
- 34) Holmgren, F. (1870) Om retinastromme. Ups Lakareforenings Forth, 6, 419-455.
- 35) Holmgren, F. (1880) Ueber die Rëtinaströme. Untersuch Physiol Inst Univ Heidelberg, 3, 278-326.
- 36) Howe, J.W., Mitchell, K.W. (1984) Simultaneous recording of pattern electroretinogram and visual evoked cortical potential in a group of patients with chronic glaucoma. Doc Ophthalmol Proc Ser., 40, 101-107.
- 37) Kahn, R., Löwenstein, A. (1924) Das Elektroretinogramm. Graefes Arch Ophthalmol, 114, 304-325.
- 38) Korth, M., Rix, R. (1988) Electrical responses of the human eye to changes in saturation of the stimulating light. Doc Ophthalmol., 69, 131-137.
- 39) Kuhne, W., Steiner, J. (1880) Ueber das electromotorische Verhalten der Netzhaut. Untersuch Physiol Inst Univ Heidelberg, 3, 327-377.

- 40) Lawwill, T. (1974) The bar pattern electroretinogram for clinical evaluation of the central retina. Am J Ophthalmol., 78,22-48.
- 41) Leipert, K.P. and Gottlob, I. (1987) Pattern electroretinogram:Effects of miosis, accommodation, and defocus. Doc Ophthalmol. 67,335-346.
- 42) Perleman, I., Gdal, M., Miller, B., Zonis, S. (1985) Neural functions of the diabetic retina after argon laser photocoagulation assessed electroretinographically. Br J Ophthalmol. 69,240-246.
- 43) Riemslag, F.C.C., Ringo, J.L., Spekreijse, H., and Verduyn, L.H. (1983) The distinction between luminance and spatial contrast components in the pattern ERG. Doc Ophthalmol Proc Ser.,37,255-264.
- 44) Riemslag, F.C.C., Ringo, J.L., Spekreijse, H., Verduyn, L.H. (1985) The luminance origin of the pattern electroretinogram in man. J Physiol.,69,131-137.
- 45) Riggs, L.A., Johnson, E.P., Schick, A.M.L. (1964) Electrical responses of the human eye to moving stimulus pattern. Science,144,567-568.
- 46) Ryan, S., Arden, G.B. (1988) Electrophysiological discrimination between retinal and optic nerve disorders. Doc Ophthalmol.,68,247-255.
- 47) Schatz, H. (1989) Fluorescein angiography:basic principles and interpretation. In: Retina. Ed.S.J.Ryan,3-4,CV Mosby Co,St.Louis.
- 48) Simonsen, S.E. (1975) Prognostic value of ERG(oscillatory potential) in juvenile diabetics. Acta Ophthalmol(Kbh), 123(suppl), 223-224.
- 49) Trick, L.R. (1987) Age-related alterations in retinal function. Doc Ophthalmol. 65,35-43.
- 50) Weinstein, G.W., Arden, G.B., Hitchings, R.A., Ryan, S., Calthorpe, C.M., Odom, J.V. (1988) The pattern electroretinogram (PERG) in ocular hypertension and glaucoma. Arch Ophthalmol.,106,923-931.

ÖZGEÇMİŞ

1954 yılında Kütahya'da doğdu. İlk öğrenimini Ankara Maltepe İlkokulunda, orta ve lise eğitimlerini Tarsus Amerikan Kolejinde ve Ankara Fen Lisesinde tamamladı. 1979 yılında Ankara Üniversitesi Tıp Fakültesini bitirdi. Aynı yıl Samsun Ondokuz Mayıs Üniversitesi Göz Hastalıkları Anabilim Dalında başladığı ihtisasını 1983 yılında tamamladı. Askerlik görevini 1983-84'de Sarıkamış Asker Hastanesinde, mecburi hizmetini 1984-86 yıllarında Bandırma Devlet Hastanesinde tamamladıktan sonra Moorfields Göz Hastanesinde elektrofizioloji, retina ve glokom konularında çalışma ve araştırmalar yaptı. Aralık 1987'de Selçuk Üniversitesi Tıp Fakültesi Göz Hastalıkları Anabilim Dalına yardımcı doçent, 1989 yılında da doçent olarak atandı. Halen bu görevini sürdürmektedir. Evli ve bir çocuk babasıdır.

TEŞEKKÜR

Aldığım eğitimde destek ve emeklerini esirgemeyen değerli hocalarıma, fizik ve elektronik hocam Sayın Ömer Cambazoglu'na, asistanlık ve meslek hayatımda dostluk ve bilgilerini paylaşan Sayın Hocam Doç.Dr. Süleyman Kaynak'a, hocalık görevlerini en üst düzeyde sunarak beni yetiştiren Ondokuz Mayıs Üniversitesi Tıp Fakültesinin mümtaz hocalarına ve Göz Hastalıkları Anabilim Dalı Öğretim Üyeleri Sayın Hocalarım Prof.Dr. İhsan Öge, Doç.Dr. Fatma Öge ve Prof.Dr. Hasan Erbil'e, elektrofizyoloji ve retina konularındaki eğitimime sınırsız olanaklar tanıyan Sayın Hocam Prof.Dr. Geoffrey B. Arden'e, bilimsel çalışmalarımı maddi destek sağlayan TÜBİTAK, British Council ve British Royal Society Kurumlarına, doktora çalışmalarımda yakın ilgi ve desteklenini gördüğüm başta danışmanım Sayın Prof.Dr. Neyhan Ergene olmak üzere, Doç.Dr. Sadettin Çalışkan ve Doç.Dr.Hakki Gökbel'e, araştırma, çalışma ve yaratıcılık motivasyonlarını ve ruhunu aşilan sevgili aile büyüklerime ve bana her konuda yardımcı olabilemeyi ilke edinmiş sevgili eşim Sayın Beniz Gündüz'e teşekkür ederim.

NOT

Bu çalışmada kullanılan ve isimleri gerek ticari adları ile ve gerekse yapı ve fizik özellikleri ile zikredilen her türlü tıbbi ve elektronik cihazlar ile bunların tıbben kullanılmalarına olanak sağlayan elektrod gibi bağlantı unsurlarını imal eden, pazarlayan, ve satan yurt içi ve yurt dışı firma, bayi, ve kişilerle hiçbir maddi bağlanım yoktur. Çalışmada elde edilen veriler aritmetik kuralların olanak verdiği ölçüde doğru ve objektif olarak kaydedilmiştir. Bilimsel gerçekleri değiştirerek ve/veya saptırarak belli bir aletin ve/veya yöntemin reklamı ve/veya pazarlaması söz konusu değildir.

Çalışmada kullanılan sarf malzemelerinin bir kısmı Selçuk Üniversitesi Araştırma Fonundan desteklenmiş, bir kısmı da kişisel olarak temin edilmiştir. Kayıt için kullanılan sistem, Selçuk Üniversitesi Tıp Fakültesi Göz Hastalıkları Anabilim Dalının kayıtlı demirbaş cihazıdır. Kalibrasyon için kullanılan fotometre ve probu Ankara Üniversitesi Fen Fakültesinden ödünç alınmıştır.

Hasta popülasyonu ve kontrol grubundaki bireylerin hepsi etik standartlar çerçevesinde incelenmiştir.

Bu tez hiçbir ticari amaç içermemektedir ve içeriğinin de ticari ve reklam amaçlarıyla kullanılması yasaktır.